鋼繊維補強された軽量2種コンクリートの強度評価式および引張軟化特性

九州大学大学院 学生会員 崔智宣 園田崇智 梶原秀夫 九州大学大学院 フェロー会員 日野伸一 正会員 山口浩平 柴田博之

1.目的

軽量 2 種コンクリート(以下,SL)とは,粗骨材に加え細骨材の全てまたは一部にも人工軽量骨材を用いたコンクリートである.しかし,普通コンクリート(以下,N)に比べて引張,せん断強度が低下するため,構造用コンクリートとして鋼繊維などによる補強が必要である.SLを鋼繊維によって補強することによりひび割れ発生時に鋼繊維とコンクリートの付着により鋼繊維が引張力を負担する架橋効果によって,引張,せん断強度および靭性向上の効果が期待できる.

そこで本研究では,鋼繊維補強による N, SL の強度 試験(圧縮,引張,曲げ,せん断強度試験)を行い, 繊維混入率(以下,混入率)を考慮した各種強度評価 式を提案した.また,「切欠きはりを用いた繊維補強コ ンクリートの荷重 - 変位曲線試験(JCI-S-002)」¹⁾ に準 じて,100×100×400mm の角柱試験体を用いた 3 点曲 げ試験(以下,曲げ試験)を実施し,混入率による靭 性能向上効果や引張軟化特性について検討した.

2. 実験概要

表 - 1 に使用材料を示す .粗骨材および細骨材は全て膨張頁岩系の人工軽量骨材を使用し ,繊維は直径 0.62mm ,長さ 30mm のフックエンド型鋼繊維を使用した .表 - 2 に示すようにコンクリート種類を N , SL とし,混入率をそれぞれ 0 , 0.4 , 0.8 , 1.2%とし計 8 タイプとした .強度試験の供試体数は各タイプ 3 体とし,圧縮 ,引張 ,曲げ ,せん断強度およびヤング係数について検討した .曲げ試験は各タイプ 5 体とし ,計測項目は荷重 ,載荷点直下の変位 ,切欠き開口変位(CMOD)とした .なお ,骨材の最大寸法は N は 20mm ,SL は 15mmとし ,目標空気量は N 4.5% , SL 5.0%とした .

3. 結果および考察

3.1 強度評価式

今回行った強度試験に加えて,過去に著者らが行った強度試験結果 2)(引張:N - 29 (29 はデータ数), SL - 40,曲げ:N - 15,SL - 26,せん断:N - 12,SL - 18)を用いて,各強度をコンクリート標準示方書 3)に従い, $f=f_c^{2/3}$ で整理した.その際,各種強度と混入率の関係から統計処理して強度評価式を求めた.表 - 3 に強度評価式およびその適用範囲を示す.強度評価式の V_{sf} の係数は混入率の効果を表すが,SL のそれは N よりもいずれも大きく,混入率増加より強度の向上効果が顕著であることがわかった.

3.2 引張軟化特性

曲げ試験の結果の一例を図 - 1,平均値を表 - 4 に示す. なお,サンプリング不良で N-08 は 4 体, SL-08 は 3 体, SL-12 は 2 体のみを検討した.繊維なし(N-00, SL-00)は最大荷重に到達してから荷重が急激に低下した. 鋼繊維補強した場合,荷重は一旦低下するが,N は混入率 0.4,0.8,1.2% の場合それぞれ 3.8kN,4.1kN,

表 - 1 使用材料

材料種類	記号	性質
普通ポルトランド	С	密度:3.16g/cm³
セメント	Ü	比表面積:3890cm²/g
		表乾密度:2.55g/cm ³
普通細骨材	普通S	吸水率:1.92%
自過細目初	自地。	実績率:71.1%
		粗粒率:2.55
普通粗骨材	普通G	表乾密度:2.90g/cm ³
自過租目初	自地	吸水率:1.92%
		絶乾密度:1.68g/cm ³
人工軽量細骨材	軽量S	24時間吸水率:9.8%
八工柱里湖自初		単位容積質量:1.11g/cm ³
		実績率:53.7%
		絶乾密度:1.55g/cm ³
人工軽量粗骨材	軽量G	24時間吸水率:9.7%
八工柱里位月初		単位容積質量:0.79g/cm ³
		実績率:63.5%
- 11 AF . = >= 1 . +1		(株)フローリック製フローリックSF500S
高性能AE減水剤	SP	
AE助剤	AE	(ポリカルボン酸化化合物) フローリック製AE - 4
生料剂 増料剤	B B	武田キリン食品(株)製 ビオポリ
H 111111		
鋼繊維	F	フックエンド型 , 密度:7.85g/cm³

表 - 2 供試体概要および配合表(一例)

										,											
1タイフ!	コンク	1 110		水セメント 比(W/C)	kg/m³								圧縮強度	引張強度	曲げ強度	せん断強度	ヤング係数				
	リート				W	С	S	G	SP	AE	В	F	(N/mm ²)	(kN/mm ²)							
N-00		0.0	2.33	50.0	213	427	870	862	1.08	1.00	0	0	35.2	2.09	-	-	32.7				
N-04	普通	普通	普通	並活	並活	0.4	2.33	50.0	213	425	868	859	1.50	0	0	31.3	32.7	2.77	5.97	4.43	29.7
N-08				0.8	2.31	50.0	212	423	864	855	2.00	0	0	62.7	35.0	3.26	7.81	5.00	30.3		
N-12		1.2	2.39	50.0	211	422	860	852	2.40	0	0	94.0	36.8	3.86	-	,	30.6				
SL-00		0.0	1.65	47.5	233	490	542	408	0	0	1.00	0	40.3	1.89	-	-	14.5				
SL-04	一野電ノ神	0.4	1.66	47.5	232	487	539	406	0	0	1.00	31.3	40.7	3.06	4.51	3.89	16.8				
SL-08		0.8	1.51	47.5	230	484	535	403	1.63	0	1.00	62.7	25.1	2.46	6.15	3.38	12.7				
SL-12	,	1.2	1.56	47.5	228	480	531	400	3.00	0	1.00	94.0	26.2	2.85	-	-	13.2				

表 - 3 強度評価式

種類			決定係数	適用範囲			
		強度評価式	R ²	混入率 (%)	圧縮強度 (N/mm²)		
	引張	$f_t = (0.068 \times V_{sf} + 0.268) \times f_c^{2/3}$	0.667		21.7 ~ 45.3	Ì	
N	曲げ	$f_b = (0.199 \times V_{sf} + 0.523) \times f_c^{2/3}$	0.456		28.6 ~ 45.3	掉	
	せん断	$f_{cv} = (0.170 \times V_{sf} + 0.429) \times f_c^{2/3}$	0.533	0 ~ 1.2	32.5 ~ 45.3		
SL	引張	$f_t = (0.119 \times V_{sf} + 0.202) \times f_c^{2/3}$	0.805	0 - 1.2	20.1 ~ 48.0		
	曲げ	$f_b = (0.258 \times V_{sf} + 0.322) \times f_c^{2/3}$	0.624		25.1 ~ 48.0		
	せん断	$f_{cv} = (0.135 \times V_{sf} + 0.306) \times f_c^{2/3}$	0.696		25.1 ~ 47.3		

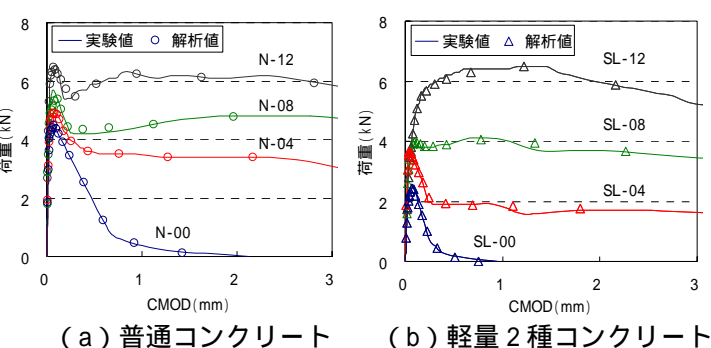
 V_{sf} :混入率 f'_{c} : 圧縮強度

表 - 4 曲げ試験結果

混入率 %		荷重 (kN)	初期結 σ _t (N	合応力 /mm ²)		張強度 /mm²)	有効破壊 エネルギー $G_f(\mathrm{N/mm})$		
	N	SL	N	SL	N	SL	N	SL	N/mm ²)
0	4.9	2.8	4.04	1.78	0	0	0.28	0.10	Į,
0.4	5.3	3.7	3.39	3.36	0.83	0.61	0.95	0.55	Ť
0.8	5.3	4.0	4.10	2.26	0.98	0.98	1.15	1.13	4 4 4 4 4
1.2	5.6	6.5	3.97	2.99	1.35	1.71	1.44	1.85	#

5.3kNで SL は混入率 0.4 0.8% の場合それぞれ 2.1kN, 3.4kN でほぼ一定となり,ひび割れ幅が徐々に広がる 挙動を呈した.しかし,SL-12 は荷重がほとんど低下 せずにひび割れ幅が徐々に広がることがわかる.以上 より繊維を混入することにより、ひび割れ発生後に架 橋効果が顕著に現れることが確認された.最大荷重は, N-00 に比べ, SL-00 は非常に小さいが, 混入率の増加 による最大荷重の増大は N より SL が顕著であること がわかった.

図 - 2 に多直線近似法による逆解析法(JCI-S-001)¹⁾ によって算出した引張軟化曲線を示す.この推定法に おけるひび割れ進展解析は仮想ひび割れモデルに基 づいている.仮想ひび割れ先端での釣合条件を初期結 合応力や応力拡大係数とし, さらに仮想ひび割れ部の 適合条件を設定すれば,ある仮想ひび割れ長さにおい ての外力である荷重と仮想ひび割れ面に作用する結合 応力を算定する.表-4より初期結合応力はNよりSL が小さいが,混入率による影響はないと考えられる. 図 - 3 に残存引張強度 fy と混入率の関係を示す . fy は最 大応力到達後の最小応力値(例えば N-04, SL-04 は図 - 2 の赤丸部分) の平均値として求めた. さらに, 仮想 ひび割れ幅 1mm までの引張軟化曲線の面積を「有効破 壊エネルギー」と定義し,鋼繊維混入率による有効破 壊エネルギーを検討した(図-4).同図より混入率増 加とともに有効破壊エネルギーも増大することがわか った .残存引張強度や有効破壊エネルギーについては N よりSLの混入率による効果が顕著であることがわかっ た.



曲げ試験結果 図 - 1

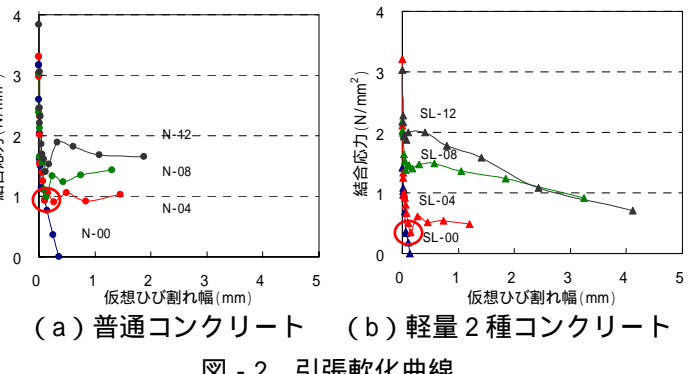
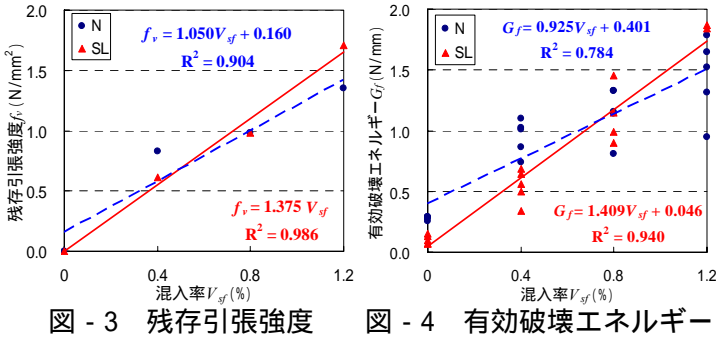


図 - 2 引張軟化曲線



4.まとめ

本研究では、混入率の各強度への影響度を把握し、 強度評価式を提案した、次に引張軟化特性について検 討し,混入率との関係を明らかにした.また,有効破 壊エネルギーや残存引張強度はNよりSLの混入率によ る効果が顕著であることがわかった.今後,強度評価 式および引張軟化特性を用いてはり、柱・版部材の耐力 評価などについて検討する予定である.

謝辞 本研究は,太平洋マテリアル株式会社,一部は科学研究費若手 研究(B)による補助を受けて実施した。ここに謝意を表します。

参考文献

- 1) JCI 基準・指針: JCI-S-002-2003「切欠きはりを用いた繊維 補強コンクリートの荷重 - 変位曲線試験方法」
- 2) 崔智宣他: 鋼繊維補強された軽量2種コンクリートの繊維 混入率を考慮した強度評価式 土木学会第63回年次学術講 演会, V-259, 平成 20 年 9 月
- 3) 土木学会: コンクリート標準示方書 構造性能照査編,2002